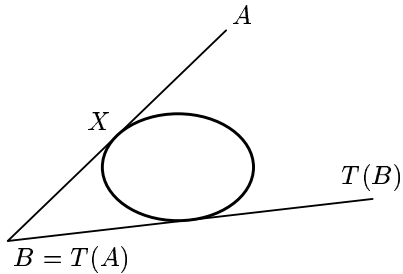


# Внешний биллиард

С. Л. Табачников

## 1. ОПРЕДЕЛЕНИЕ И ПРИМЕРЫ

Для игры во внешний биллиард нужен биллиардный стол — ограниченная выпуклая область на плоскости. Игра состоит в следующем. Начальная позиция биллиардного шара — это точка  $A$  вне биллиардного стола. Из точки  $A$  можно провести две касательные (точнее, опорные) прямые к границе биллиардного стола  $\gamma$  — левую  $l$  и правую  $r$ , если смотреть из точки  $A$ . Продолжим правую касательную за точку касания  $X$  до точки  $B$  так, что  $BX = AX$  (см. рис. 1). Точка  $B$  и есть новое положение биллиардного шара. Обозначая внешнее биллиардное отображение через  $T$  (или, если нужно подчеркнуть зависимость от стола, через  $T_\gamma$ ), имеем:  $B = T(A)$ .



*Рис. 1.*

У данного определения есть один дефект: точка  $X$  может оказаться не единственной. Это произойдет, если граница биллиардного стола содержит отрезок прямой, например, если биллиардный стол — многоугольник. Этот недостаток определения неустраним и мы считаем, что отображение  $T$  не определено в тех точках, которые лежат на продолжениях отрезков, являющихся частью кривой  $\gamma$ . Это напоминает обычный (внутренний) биллиард: если биллиардный шар попадает в угол, его дальнейшее движение не определено.

Внешний биллиард изучен гораздо менее основательно, чем внутренний. Даже терминология не вполне устоялась: внешний биллиард известен также как «дуальный биллиард» и «антибилиард» (по-английски, «outer», «exterior», «dual» и «antibilliard»). Я не знаю, кто первым изобрел внешний биллиард. Знаменитый математик второй половины XX века Юрген Мозер описал внешний биллиард в оказавшей большое влияние книге [5]. Мозер узнал о внешнем биллиарде из лекции австралийского математика Б. Ньюмана в конце 1950-х гг.

Рассмотрим несколько примеров.

ПРИМЕР 1. Если внешний биллиардный стол — круг, то каждая точка движется по концентрической окружности. Тем самым, каждая концентрическая окружность — инвариантная кривая внешнего биллиардного отображения  $T$ .

Отметим, что внешнее биллиардное отображение не чувствительно к аффинным преобразованиям плоскости. Точнее говоря, пусть  $f$  — аффинное преобразование, а  $\gamma$  — внешняя биллиардная кривая. Тогда

$$f \circ T_\gamma = T_{f(\gamma)} \circ f$$

(см. рис. 2).

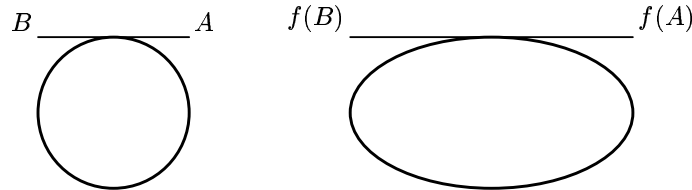


Рис. 2.

Поскольку эллипс — аффинный образ окружности, все, сказанное о круглом внешнем биллиардном столе, относится в равной мере и к эллиптическому.

ПРИМЕР 2. Если внешний биллиардный стол — квадрат, то движение каждой точки — периодическое. Структура орбит изображена на рис. 3: каждая точка квадратика, отмеченного номером  $n$ , посещает все остальные квадратики с этим номером (их  $4n$ ) по одному разу, прежде чем вернуться в исходное положение. Читатель легко установит аналогичные факты о треугольном внешнем биллиардном столе и о столе в форме правильного шестиугольника. В силу аффинной инвариантности, сказанное о квадрате относится и к произвольному параллелограмму.

ПРИМЕР 3. Если внешний биллиардный стол — правильный пятиугольник, то наряду с периодическими орбитами, есть и бесконечные. Одна такая орбита

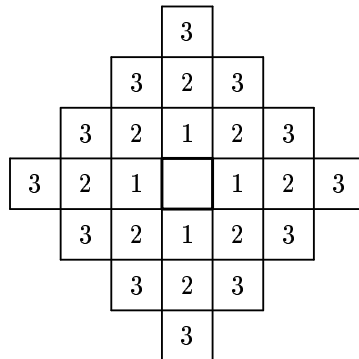


Рис. 3.

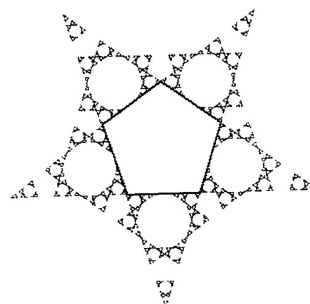


Рис. 4.

показана на рис. 4. Отметим бросающееся в глаза самоподобие изображенной орбиты (точнее, ее замыкания). Существование бесконечных орбит вовсе не очевидно, и доказательство (данное в [8] и [9]) опирается на отмеченное самоподобие. Оно же позволяет вычислить (дробную!) размерность множества бесконечных орбит, которая оказывается равной  $\lg 6 / \lg(\sqrt{5} + 2) = 1.24\dots$

Компьютерные эксперименты показывают, что нечто подобное происходит и с другими правильными  $n$ -угольниками (за исключением  $n = 3, 4, 6$  — см. предыдущий пример).

## 2. СОХРАНЕНИЕ ПЛОЩАДИ

Независимо от формы внешнего биллиардного стола, внешнее биллиардное отображение обладает свойством сохранять площадь. Докажем это.

Возьмем близкие точки  $X$  и  $X'$  на кривой  $\gamma$ . Выберем число  $r > 0$  и проведем касательные отрезки длины  $r$  к  $\gamma$  в каждой точке между  $X$  и  $X'$ . Концы этих отрезков пробегают кривые  $AA'$  и  $BB'$ , и при этом  $T(AA') = BB'$ . Проделаем то же построение, заменяя  $r$  на  $r - \varepsilon$  (предполагая конечно, что  $\varepsilon$  — бесконечно малое); мы получим кривую  $CC'$  и ее образ  $DD'$ . Обозначим через  $Y$  точку пересечения отрезков  $AB$  и  $A'B'$  и через  $\delta$  (еще одно бесконечно малое!) угол между этими отрезками (см. рис. 5).

Вычислим площадь криволинейного четырехугольника  $ACC'A'$  с точностью до малых второго порядка, то есть, пренебрегая  $\varepsilon^2$  и  $\delta^2$ . Имеем:

$$\text{Площадь } (AYA') = \frac{1}{2}\delta r^2, \quad \text{Площадь } (CYC') = \frac{1}{2}\delta(r - \varepsilon)^2 = \frac{1}{2}\delta r^2 - \delta\varepsilon r,$$

а значит

$$\text{Площадь } (ACC'A') = \delta\varepsilon r.$$

Аналогично,

$$\text{Площадь } (BDD'B') = \delta\varepsilon r,$$

то есть отображение  $T$  сохраняет площадь бесконечно малого четырехугольника  $ACC'A'$ . Это и доказывает свойство внешнего биллиардного отображения сохранять площадь.

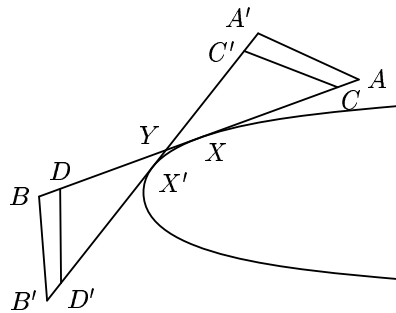


Рис. 5.

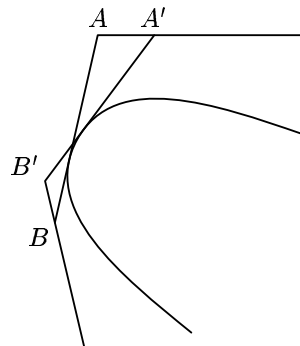


Рис. 6.

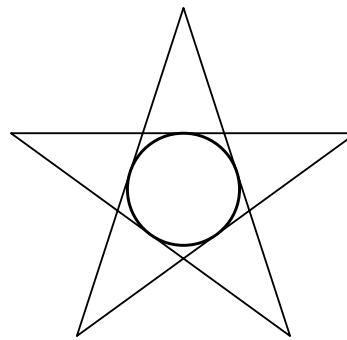


Рис. 7.

Сохранение площади имеет разнообразные следствия. Зададимся, например, таким вопросом. Предположим, что граница внешнего биллиардного стола  $\gamma$  — гладкая строго выпуклая кривая (т. е. ее кривизна всюду положительна). Пусть задано целое число  $n \geq 3$ . Существует ли у внешнего биллиардного отображения  $n$ -периодическая орбита?

Ответ на этот вопрос положительный, как показывает следующее рассуждение. Рассмотрим  $n$ -угольник наименьшей площади, описанный вокруг  $\gamma$ . Я утверждаю, что стороны этого многоугольника делятся пополам точками касания с кривой  $\gamma$ , то есть что это —  $n$ -периодическая орбита внешнего биллиардного отображения.

Действительно, если сторона  $AB$  не делится точкой касания пополам, то, слегка повернув отрезок  $AB$  в новое положение  $A'B'$ , можно уменьшить площадь многоугольника (см. рис. 6). Это рассуждение почти идентично предыдущему, доказывающему, что  $T$  сохраняет площадь.

Это же рассуждение доказывает, что у внешнего биллиардного отображения есть  $n$ -периодические орбиты, обходящие вокруг биллиардного стола  $k$  раз, где  $1 \leq k \leq n/2$  (см. рис. 7, на котором  $n = 5$ ,  $k = 2$ ).

В действительности для каждого  $n \geq 3$  и  $1 \leq k \leq n/2$  найдется по крайней мере две периодические орбиты внешнего биллиардного отображения, но доказать это значительно сложнее. Аналогичный факт для внутреннего биллиарда был доказан Биркгофом в 1920-х гг.

Рассмотрим еще одно следствие сохранения площади. Предположим, что у внешнего биллиардного отображения есть выпуклая инвариантная кривая  $\Gamma$  (говоря об инвариантной кривой, я всегда предполагаю, что  $\Gamma$  обходит вокруг биллиардного стола ровно один раз). Можно ли восстановить биллиардный стол по  $\Gamma$ ? Ответ дается следующей конструкцией.

Зафиксируем число  $c > 0$  и рассмотрим семейство прямых, отсекающих от фигуры, ограниченной  $\Gamma$ , сегменты постоянной площади  $c$ . Полученное однопараметрическое семейство прямых имеет огибающую, т.е. такую кривую  $\gamma$ , которая касается прямых семейства в каждой своей точке (см. рис. 8).

Вообще говоря, кривая  $\gamma$  может не быть гладкой (этот вопрос подробно обсуждается в статье [10]), но мы предположим, что  $\gamma$  — гладкая кривая. Я утвер-

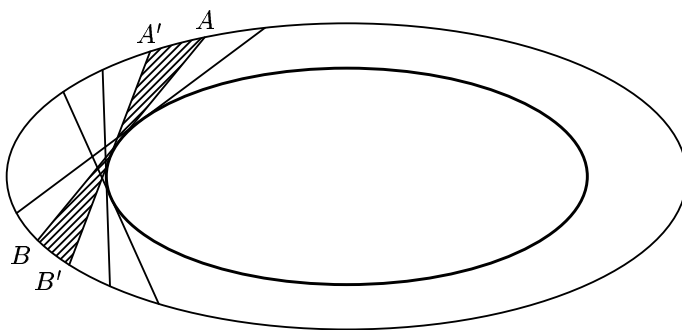


Рис. 8.

ждаю, что  $\Gamma$  — инвариантная кривая внешнего биллиардного отображения  $T_\gamma$ . Действительно, площади заштрихованных инфинитезимальных треугольников на рис. 8 равны, а это, как мы уже видели, означает, что отрезок  $AB$  делится точкой касания с кривой  $\gamma$  пополам.

Отметим, что описанная конструкция зависит от параметра  $c$ , поэтому кривая  $\Gamma$  задает целое однопараметрическое семейство биллиардных столов. Аналог этой конструкции для внутреннего биллиарда хорошо известен (производится с помощью нерастяжимой нити) — см., например, [2].

Вернемся к примеру 1 из предыдущего параграфа. Если внешний биллиардный стол — круг, то каждая точка вне него лежит на инвариантной кривой; в этом случае говорят, что внешнее биллиардное отображение интегрируемо. Интегрируемость — очень редкое явление; она означает, что отображение весьма регулярно, т. е. поведение точки при итерациях отображения полностью предсказуемо. Существует гипотеза, что интегрируемость внешнего биллиардного отображения имеет место, только если внешний биллиардный стол — эллипс. По всей видимости, доказать это весьма трудно (я верю, что эта гипотеза верна); аналогичная гипотеза для внутреннего биллиарда (приписываемая Биркгофу) тоже не доказана, несмотря на усилия многих математиков.

### 3. ДВОЙСТВЕННОСТЬ МЕЖДУ ВНЕШНИМ И ВНУТРЕННИМ БИЛЛИАРДАМИ

Читатель, вероятно, уже отметил своеобразную двойственность между внешним и внутренним биллиардами. Траектория внутреннего биллиарда — вписанный многоугольник, а внешнего — описанный, причем первый имеет экстремальный периметр, а последний — экстремальную площадь (см. предыдущий параграф). Чем объяснить такую двойственность между длиной и площадью?

Ситуация прояснится, если рассмотреть биллиард не на плоскости, а на сфере. Роль прямых в сферической геометрии играют большие круги. Имеется замечательная двойственность между точками и ориентируемыми прямыми: полюсу отвечает экватор (см. рис. 9, на котором точки названы большими буквами, а соответствующие прямые — строчными). Отметим, что (сферическое) расстояние  $AB$  равно углу между прямыми  $a$  и  $b$ .

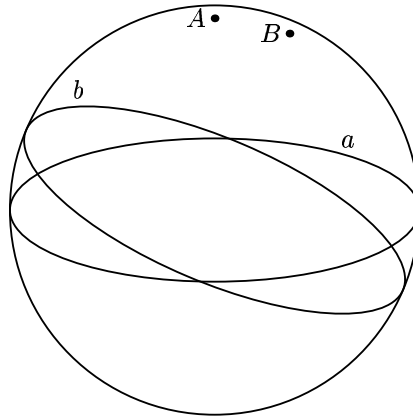


Рис. 9.

Важное свойство сферической двойственности состоит в следующем: если точка  $A$  лежит на прямой  $b$ , то двойственная точка  $B$  лежит на двойственной прямой  $a$  (докажите!).

Двойственность распространяется на сферические кривые. Гладкая ориентированная кривая  $\gamma$  определяет однопараметрическое семейство касательных прямых. Сопоставляя этим прямым двойственные точки, получаем однопараметрическое семейство точек, т. е. новую кривую  $\gamma^*$ . Это и есть кривая, двойственная кривой  $\gamma$ . Двойственную кривую  $\gamma^*$  можно построить так: каждую точку  $X$  исходной кривой  $\gamma$  нужно сдвинуть на расстояние  $\pi/2$  (то есть на четверть большого круга) вдоль ориентированной нормали к  $\gamma$  в точке  $X$ ; ориентация нормали определяется ориентацией кривой  $\gamma$  по правилу правой руки. Например, если  $\gamma$  — параллель северной широты  $\alpha$ , то, в зависимости от ориентации  $\gamma$ , кривая  $\gamma^*$  — параллель северной или южной широты  $\pi/2 - \alpha$ .

Отметим важное свойство двойственности: кривая, двойственная двойственной, центрально-симметрична исходной, т. е.

$$(\gamma^*)^* = -\gamma.$$

Читатель, не знакомый со сферической двойственностью, получит удовольствие от доказательства сформулированного свойства; подробное обсуждение геометрии сферических кривых содержится в статье [1].

Рассмотрим отражение биллиардного шара от биллиардной кривой  $\gamma$  в точке  $X$  (см. рис. 10, левая часть). Двойственная картина изображена на рис. 10 справа (как и раньше, двойственные объекты обозначены одинаковыми буквами).

Закон биллиардного отражения гласит: «угол падения равен углу отражения», т. е. углы, образованные прямыми  $a$  и  $b$  с касательной  $l$ , равны. На двойственной картине это означает, что  $AL = LB$ , а значит, двойственное биллиардное отображение относительно кривой  $\gamma^*$  переводит точку  $A$  в точку  $B$ . Итак, сферические внешний и внутренний биллиарды двойственны друг другу.

А как объяснить двойственность между длиной и площадью? Траектория внутреннего биллиарда — вписанный многоугольник экстремального периме-

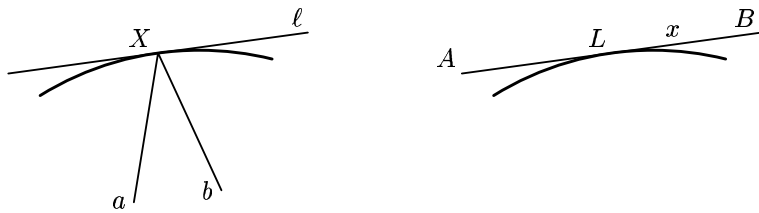


Рис. 10.

тра. Длины двойственны углам. Следовательно, траектория внешнего биллиарда — описанный многоугольник, имеющий экстремальную сумму углов. Сумма углов сферического  $n$ -угольника связана с его площадью:

$$\sum \alpha_i = \pi(n - 2) + A$$

(конечно, полная площадь сферы равна  $4\pi$ ). Это — теорема Гаусса–Бонне для сферических многоугольников; см., например, [2].

Итак, орбита внешнего биллиардного отображения на сфере — это описанный многоугольник экстремальной площади. Плоскость можно представлять как сферу бесконечного радиуса. Сумма углов  $n$ -угольника перестает быть переменной (она равна  $\pi(n - 2)$ ), однако площадь сохраняет роль функции на описанных многоугольниках, чьи экстремумы отвечают орбитам внешнего биллиарда.

#### 4. МОЖЕТ ЛИ ОРБИТА УЙТИ В БЕСКОНЕЧНОСТЬ?

Посмотрим на внешний биллиард «с высоты птичьего полета», т. е. зададимся вопросом: как устроены орбиты очень далеко от биллиардного стола? Если смотреть издалека, то биллиардная кривая  $\gamma$  представляется точкой, а внешнее биллиардное отображение  $T$  — центральной симметрией. Эволюция точки под действием отображения  $T^2$  выглядит как непрерывное движение вдоль центрально-симметричной замкнутой кривой  $\Gamma$ , причем это движение удовлетворяет второму закону Кеплера: секториальная скорость постоянна (т. е. в равные времена радиус-вектор заметает равные площади; единица времени — это, конечно, одна итерация отображения  $T^2$ ). На рис. 11 изображены некоторые внешние биллиардные кривые  $\gamma$  (верхняя строка) и соответствующие инвариантные

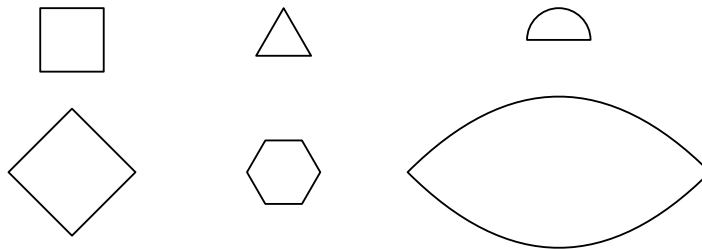


Рис. 11.

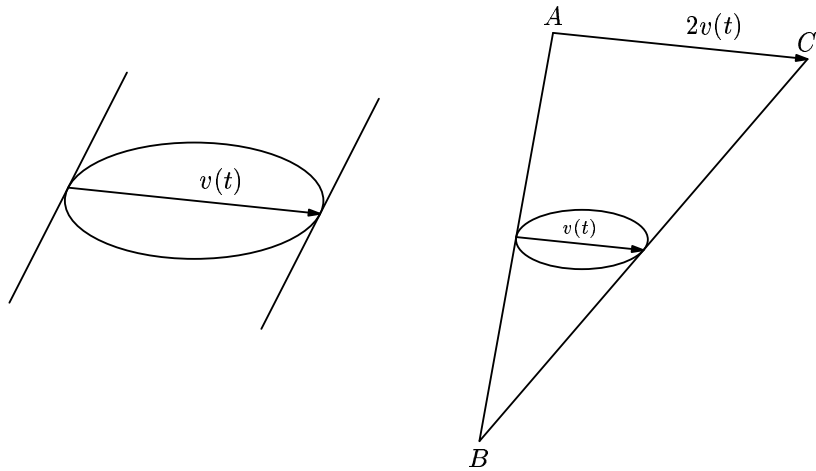


Рис. 12.

кривые в бесконечности  $\Gamma$  (последний столбец состоит из полукруга и из двух равных дуг парабол, пересекающихся под прямым углом).

Сейчас я объясню эти наблюдения. Для определенности, рассмотрим случай гладкой кривой  $\gamma$  (читателю предлагается самостоятельно изучить случай, когда  $\gamma$  — выпуклый многоугольник). Рассмотрим какую-нибудь параметризацию внешней биллиардной кривой  $\gamma(t)$  и обозначим через  $v(t)$  вектор, конец которого — точка  $\gamma(t)$ , а начало — точка касания опорной прямой к  $\gamma$ , параллельной вектору  $\gamma'(t)$  (см. левую часть рис. 12).

Для точек, очень удаленных от биллиардного стола, угол  $ABC$  на правой части рис. 12 пренебрежимо мал, поэтому искомая инвариантная кривая в бесконечности  $\Gamma(t)$  (определенная лишь с точностью до подобия) должна иметь касательный вектор, пропорциональный  $v(t)$ . Иными словами, мы хотим решить дифференциальное уравнение

$$\Gamma'(t) \sim v(t).$$

Ясно, что решение (если оно существует) единственно с точностью до гомотетии — ведь направление кривой  $\Gamma$  задано во всех ее точках вектором  $v$ .

Напомним, что векторное произведение  $a \times b$  — это ориентированная площадь параллелограмма, образованного векторами  $a$  и  $b$ . В частности,  $a \times b = 0$  тогда и только тогда, когда векторы  $a$  и  $b$  пропорциональны.

**УТВЕРЖДЕНИЕ.** *Решением дифференциального уравнения является следующая вектор-функция:*

$$\Gamma(t) = \frac{v'(t)}{v(t) \times v'(t)}.$$

**ДОКАЗАТЕЛЬСТВО.** Имеем:

$$\Gamma' = \frac{v''}{v \times v'} - \frac{v'(v \times v'')}{(v \times v')^2},$$

поэтому

$$v \times \Gamma' = \frac{v \times v''}{v \times v'} - \frac{(v \times v')(v \times v'')}{(v \times v')^2} = 0.$$

Следовательно,  $\Gamma'(t) \sim v(t)$ , что и требовалось.

Итак, у нас есть формула для кривой  $\Gamma$ . Остается объяснить закон Кеплера. Движение по кривой  $\Gamma(t)$  происходит со скоростью  $2v(t)$ , а секториальная скорость равна

$$2v(t) \times \Gamma(t) = 2 \frac{v \times v'}{v \times v'} = 2,$$

то есть не зависит от времени (снова подчеркнем, что значение константы не имеет особого смысла, так как все определено лишь с точностью до подобия).

Мы видим, что динамика внешнего биллиардного отображения (а точнее, его второй итерации) в бесконечности хорошо аппроксимируется непрерывным движением вдоль кривых, гомотетичных  $\Gamma$ . Важно понимать, однако, что это — всего лишь приближение к гораздо более сложной динамике. Тем не менее, описанная аппроксимация имеет важные следствия.

Первое следствие относится к случаю, когда кривая  $\gamma$  достаточно гладкая (насколько я знаю, достаточно шестикратной дифференцируемости). В этом случае, используя теорию КАМ (Колмогоров – Арнольд – Мозер), можно доказать, что отображение  $T_\gamma$  действительно имеет инвариантные кривые сколь угодно далеко от биллиардного стола (см. [5, 6]). Такая инвариантная кривая служит «оградой», которую не может пересечь орбита внешнего биллиардного отображения. Следовательно, ни одна орбита отображения  $T_\gamma$  не может уйти в бесконечность.

Второе следствие относится к случаю, когда биллиардный стол — выпуклый многоугольник. В этом случае  $\Gamma$  — центрально-симметричный выпуклый  $k$ -угольник (определенный с точностью до гомотетии). Каждой стороне  $\Gamma$  отвечает «время»  $t$  — отношение длины стороны к скорости  $v$ , с которой происходит движение вдоль этой стороны (эта скорость — одна из диагоналей многоугольника  $\gamma$ ; см. предыдущее обсуждение). Набор чисел  $\bar{t} = (t_1, \dots, t_k)$  определен с точностью до общего множителя. Внешний биллиардный стол называется *квазирациональным*, если все компоненты  $\bar{t}$  можно сделать рациональными (а тогда — и целыми).

Примером квазирационального многоугольника служит многоугольник, все вершины которого имеют целые координаты. Другой пример — правильный многоугольник, для которого  $\bar{t} = (1, \dots, 1)$ .

В статье [6] Ю. Мозер поставил следующий вопрос: может ли орбита внешнего биллиарда уйти в бесконечность, если внешний биллиардный стол — выпуклый многоугольник? Частичный ответ дается следующей теоремой.

**ТЕОРЕМА.** *Если внешний биллиардный стол — квазирациональный многоугольник, то ни одна орбита внешнего биллиардного отображения не может уйти в бесконечность.*

Доказательство этой теоремы не использует «тяжелой артиллерии» современной математики, но тем не менее, совсем не просто. Читатель может найти

детали в статьях [4, 7, 3]. Полный ответ на вопрос Мозера до сих пор не известен (компьютерные эксперименты дают основания думать, что если внешний биллиардный стол — полукруг, то некоторые орбиты уходят в бесконечность).

Отметим следствие сформулированной теоремы: если внешний биллиардный стол — многоугольник, все вершины которого имеют целые координаты, то все орбиты внешнего биллиардного отображения периодические.

Действительно, целочисленность вершин означает, что каждая орбита внешнего биллиардного отображения дискретна, а теорема означает, что орбита ограничена. Ограниченнная и дискретная орбита конечна, что и требуется.

Насколько я знаю, более простого доказательства сформулированного следствия, не использующего вышеуказанной теоремы, не известно; было бы интересно найти такое доказательство.

Еще один открытый вопрос, тоже относящийся к случаю, когда внешний биллиардный стол — выпуклый многоугольник: может ли внешнее биллиардное отображение вовсе не иметь периодических траекторий?

Отметим в заключение параграфа, что внешний биллиард имеет смысл и в геометрии Лобачевского, причем свойство сохранения площади остается в силе. Изучение таких биллиардов — интересная открытая задача.

## 5. МНОГОМЕРНЫЙ ВНЕШНИЙ БИЛЛИАРД

Внутренний биллиард определен в пространстве любой размерности, например, в обычном трехмерном пространстве. А как обстоит дело с внешним биллиардом?

Оказывается, внешний биллиард можно определить в любом четномерном пространстве (плоскость четномерна!). Вещественное пространство размерности  $2n$  можно рассматривать как комплексное пространство размерности  $n$ . Нам понадобится операция умножения на  $\sqrt{-1}$ , которую мы обозначим через  $J$  — это линейное отображение пространства  $\mathbb{C}^n$  в себя. На плоскости  $J$  — это просто поворот на  $\pi/2$  в положительном направлении, а в  $\mathbb{C}^n$  оператор  $J$  можно представлять себе как одновременный поворот каждого координатного пространства  $\mathbb{C}$  на  $\pi/2$ .

Внешний биллиардный стол — это так же, как и раньше, выпуклая ограниченная область. Обозначим ее границу — выпуклую замкнутую гиперповерхность в  $\mathbb{C}^n$ , через  $M$ . Внешнее биллиардное отображение можно было бы определить, если бы в каждой точке  $M$  была определена единственная касательная прямая. Проблема же в том, что таких прямых слишком много. Разрешается эта трудность так.

Обозначим через  $\nu$  внешний единичный нормальный вектор к  $M$  (предполагая, что  $M$  — гладкая строго выпуклая гиперповерхность). Вектор  $J(\nu)$  касается  $M$  и задает ориентированную касательную прямую в каждой точке  $M$ . Можно доказать, что через каждую точку  $A$  вне биллиардного стола проходит ровно две такие касательные прямые, причем одна из них,  $r$ , имеет направление к  $M$ , а другая,  $l$ , — от  $M$ . Теперь ясно, как определить внешнее биллиардное отображение: находим такую точку  $X \in M$ , что соответствующая прямая  $r$  проходит через  $A$ , и отражаем  $A$  в точке  $X$ , чтобы получить новую точку  $B = T(A)$  (сравните с началом параграфа 1).

Что данное определение «правильное», показывает следующий аналог свойства сохранения площади. Наряду с обычным скалярным произведением, четномерное пространство обладает другой билинейной операцией — симплектической структурой. Симплектическая структура обобщает векторное произведение на плоскости, то есть ориентированную площадь параллелограмма. Обозначается симплектическая структура через  $\omega$  и задается следующей формулой:

$$\omega(a, b) = J(a) \cdot b,$$

где  $a$  и  $b$  — векторы, а точкой обозначено скалярное произведение. В отличие от последнего,  $\omega$  — кососимметричная операция:

$$\omega(a, b) = -\omega(b, a).$$

Так вот, для любого внешнего биллиардного стола, внешнее биллиардное отображение сохраняет симплектическую структуру. Эта теорема (доказанная в [8, 9]) имеет следствия, известные нам в случае плоскости. Например, у внешнего биллиардного отображения есть периодические траектории всех периодов, начиная с 3.

Тем не менее, о многомерном внешнем биллиарде не известно почти ничего. Например, может ли орбита уходить в бесконечность? В многомерной ситуации теория КАМ больше не обеспечивает существования инвариантных гиперповерхностей. Другой интересный вопрос касается случая, когда внешний биллиардный стол — выпуклый многогранник (скажем, тетраэдр в четырехмерном пространстве). Этот вопрос тоже полностью открыт.

## СПИСОК ЛИТЕРАТУРЫ

- [1] Арнольд В. Геометрия сферических кривых и алгебра кватернионов // Успехи Матем. Наук, 1995. Т. 50, вып. 1. С. 3–68.
- [2] Береже М. Геометрия. М. Мир, 1984.
- [3] Gutkin E., Simanyi N. Dual polygonal billiards and necklace dynamics // Comm. Math. Phys., 1991. V. 143. P. 431–450.
- [4] Kolodziej R. The antibilliard outside a polygon // Bull. Pol. Acad. Sci., 1989. V. 37. P. 163–168.
- [5] Moser J. Stable and random motions in dynamical systems // Ann. of Math. Stud., 1973. V. 77.
- [6] Moser J. Is the solar system stable? // Math. Intell., 1978. V. 1. P. 65–71.
- [7] Shaidenko A., Vivaldi F. Global stability of a class of discontinuous dual billiards // Comm. Math. Phys., 1987. V. 110. P. 625–640.
- [8] Табачников С. Дуальные биллиарды // Успехи Матем. Наук, 1993. Т. 48, вып. 6. С. 75–102.
- [9] Tabachnikov S. Billiards // SMF “Panoramas et Synthèses”, 1995. No 1.
- [10] Табачников С., Фукс Д. Сегменты постоянной площади // Квант, 1990. №8. С. 26–31.